



# БИООРГАНИЧЕСКАЯ ХИМИЯ

том 11 • №4 • 1985

УДК 577.113.5+575(852'113+856)

## НУКЛЕОТИДНАЯ ПОСЛЕДОВАТЕЛЬНОСТЬ ГЕНА 16S рРНК ИЗ АРХЕОБАКТЕРИИ *HALOBACTERIUM HALOBIUM*

Каграманова В. К., Манькин А. С., Тетерина Н. Л.,  
Рубцов П. М.\*; Копылов А. М., Баратова Л. А.,  
Богданов А. А.

Московский государственный университет им. М. В. Ломоносова,  
Межфакультетская проблемная научно-исследовательская лаборатория  
молекулярной биологии и биоорганической химии им. А. Н. Белозерского;

\* Институт молекулярной биологии Академии наук СССР, Москва

Определена полная нуклеотидная последовательность гена 16S рРНК из археобактерии *Halobacterium halobium*. Степень гомологии этой рРНК с соответствующими рРНК из рибосом эубактерий (*Escherichia coli*) и эукариот (*Dictyostelium discoideum*) составляет соответственно 63 и 56%. Значительно большая степень гомологии (88%) обнаружена между 16S рРНК из *H. halobium* и нуклеотидными последовательностями двух других археобактериальных 16S рРНК (из *Halobacterium volcanii* и *Halococcus morrhua*), известными к настоящему времени. Сравнительный анализ этих нуклеотидных последовательностей позволил уточнить модель вторичной структуры археобактериальной 16S рРНК.

Согласно современным взглядам, все существующие организмы образуют три первичных эволюционных царства — эубактерий, археобактерий и эукариот [1]. Представители недавно открытого царства археобактерий обладают, с одной стороны, некоторыми чертами, свойственными эубактериям и эукариотам, а с другой — рядом отличительных «археобактериальных» черт.

Одним из характерных филогенетических признаков организма является организация генов рибосомных РНК. У эубактерий и эукариот гены рРНК физически сконцентрированы и транскрибируются совместно с единственного промотора. В эубактериальном рибосомном опероне гены рРНК располагаются в порядке 5'-16SpРНК-23SpРНК-5SpРНК-3' [2]. У эукариот рибосомный оперон имеет структуру 5'-18SpРНК-23SpРНК-5,8SpРНК-28SpРНК-3' [3]. Ген 5SpРНК у эукариот синтезируется с отдельного промотора. В случае археобактерий ситуация более сложная. Как было недавно показано, среди археобактерий имеются представители (*Thermoproteales*), у которых структурные гены рибосомных РНК расположены в геноме на значительном расстоянии и, вероятно, транскрибируются независимо друг от друга. В то же время существуют археобактерии (галофильно-метаногенная группа), у которых, как у эубактерий и эукариот, эти гены физически сконцентрированы и, по-видимому, организованы в опероны [4, 5].

Из представителей последней группы большой интерес вызывает рибосомный синтезирующая галофильная археобактерия *Halobacterium halobium*. Уникальность ее состоит в том, что она содержит единственный оперон рибосомных РНК, который имеет типичную эубактериальную структуру: 5'-16SpРНК-23SpРНК-5SpРНК-3'. Таким образом, этот организм может оказаться очень удобным объектом для изучения экспрессии рибосомных РНК, а также для введения направленных мутаций в рРНК с целью исследования их влияния на организацию и функционирование рибосомы.

Ранее нами была определена первичная структура 5S рРНК [6], нуклеотидная последовательность транскрибуемого сплайсера между генами 16S и 23S рРНК [7], а также структура промоторного участка рибосомного оперона из *H. halobium* [8]. Настоящая работа посвящена изучению

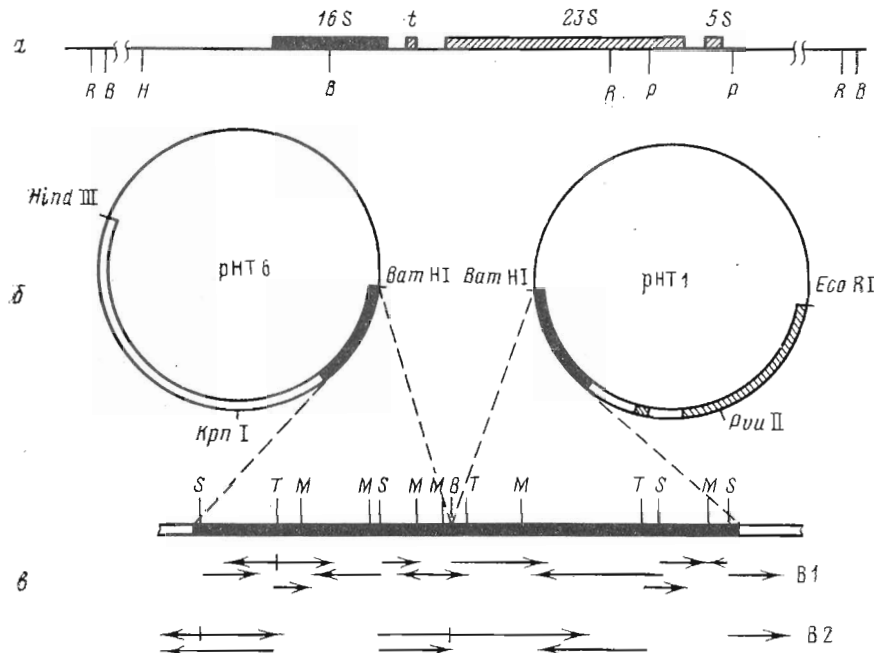


Рис. 1. а – рестрикционная карта оперона рибосомных РНК из *H. halobium*. Структурный ген 16S рРНК зачернен, гены «спайсерной» тРНК, 23S рРНК и 5S рРНК заштрихованы; б – физическая карта рекомбинантных плазмид рHT1 и рHT6, содержащих 3'- и 5'-концевые половины гена 16S рРНК из *H. halobium*. Одинарной линией обозначена ДНК рBR322, двойной – фрагмент ДНК из *H. halobium*; в – схема стратегии определения нуклеотидной последовательности гена 16S рРНК. Показаны фрагменты, структура которых была определена по методам Максами – Гилберта [10] (B1), Сэнджера и др. [11] (B2). Сайты расщепления рестрикционными эндонуклеазами: BamHI – B, Sau3A – S, TaqI – T, MspI – M, EcoRI – R, HindIII – H, PstI – P

нуклеотидной последовательности первого структурного гена этого оперона, кодирующего 16S рРНК.

**Клонирование гена 16S рРНК из *H. halobium*.** Для локализации и выделения гена, кодирующего 16S рРНК, была построена рестрикционная карта рибосомного оперона из *H. halobium* (рис. 1а). С этой целью суммарную ДНК, выделенную из клеток *H. halobium*, штамм RI, подвергали гидролизу рестриктазами EcoRI, BamHI, HindIII или PstI, а также парами рестриктаз BamHI – EcoRI или BamHI – HindIII. Образующиеся при этом фрагменты разделяли методом электрофореза в 1% агарозном геле, переносили на нитроцеллюлозные фильтры и проводили гибридизацию с  $^{32}$ P-меченными 5S, 16S и 23S рРНК, выделенными из этого же организма. Полученная нами рестрикционная карта рибосомного оперона из *H. halobium* хорошо согласуется с результатами других авторов [4, 5]. Фрагмент длиной 4,5 т.п.о., содержащий 5'-концевую половину (HindIII – BamHI), и фрагмент длиной 2,8 т.п.о., содержащий 3'-концевую половину гена 16S рРНК (BamHI – EcoRI), клонировали в плазмиде pBR322 (физические карты рекомбинантных плазмид рHT1 и рHT6, несущих указанные выше фрагменты, приведены на рис. 1б). Для определения первичной структуры гена 16S рРНК рекомбинантные плазмиды рHT1 и рHT6 гидролизовали парами рестриктаз BamHI – PvuII и BamHI – KpnI соответственно. Фрагменты, несущие нуклеотидные последовательности гена 16S рРНК (что было доказано путем гибридизации по методу Саузерна [9]), выделяли для дальнейшего анализа элюцией из агарозного геля.

**Нуклеотидная последовательность 16S рРНК из *H. halobium*.** Анализ нуклеотидной последовательности проводили двумя путями: методом частичной химической деградации по Максами – Гилберту [10] и «дидезокси»-методом Сэнджера [11]. Стратегия определения нуклеотидной последовательности показана на рис. 1в.

1 ATTCGGTTG ATCCTGCCGG AGGCCATTGC TATCGGAGTC CGATTTAGCC ATGCTAGTTG  
 -----T-----T-G-----  
 -----T-----G-----  
  
 61 TGCGGGTTA GACCCGCAGC GGAAAGCTCA GTAACACGTG GCCAAGCTAC CCTGTGGACG  
 CA---A---C T---T---TG---A-----A-----A-----ACA---GA  
 -A-----C-----T---AA-T---C-----T---A-----C-----C  
  
 121 GGAATACTCT CGGGAAACTG AGGCTAATCC CCGATAACGC TTTGCTCCCTG GAAGGGGCAA  
 ACG---AC--- -----AG TTC---CG-G AG-CA-G---T-CCG-C  
 ---G---TC--- -----TC---A---CT---CA-GT---TACAG--  
  
 181 AGCCGGAAC GCTCCGGCGC CACAGGATGC GGCTGCGGTC GATTAGGTAG ACGGTGGGT  
 TC---C--- -----A-----TGT---T-----C-----  
 ---T-----G-----C-T-----A-----C-----  
  
 241 AACGGCCCAC CGTGCCCCATA ATCGGTACGG GTTGTGAGAG CAAGAGCCCC GAGACGGAAT  
 -----G-----  
 -----G----- -----A-----T-----  
  
 301 CTGAGACAAG ATTCCGGGCC CTACGGGGCG CAGCAGGCC GAAACCTTA CACTGTACGA  
 -----C-----  
 -----A----- -----C-----C  
  
 361 AAGTGCATA AGGGGACTCC GAGTGTGAAG GCATAGAGCC TTCACTTTTG TACACCGTA  
 -----C---A---C-G---T-T-C-G-----C-CG-----  
 C-----C---C-G---C-T-C-G-C-GTGA  
  
 421 GGTGGTGCAC GAATAAGGAC TGGGCAAGAC CGGTGCCAGC CGCCGCGGTA ATACCGCAG  
 --C---CG-G-----AG----- -----  
 -AA---CTCA -----AG-----  
  
 481 TCCGAGTGAT GGCGATCTT ATTGGGCATA AAGCGTCCGT AGCTGGCTGA ACAAGTCCGT  
 CT-A-----A-----A----- -----C-CAC GA-G-T-A-  
 CT-----A-----AC-A----- -----C-C-----G-----  
  
 541 TGGGAATCT GTCCGCTTAA CGGGCAGGCC TCCAGCGGAA ACTGTTCAAGC TTGGGACCGG  
 C-----C---C-A---C---T---G-----G-T-A---CACGTG-----  
 C-----C AC-----C-----TG-----G-----CAG-----G-----  
 A  
  
 601 AAGACCTGAG GGGTACGTCT GGGGTAGGAG TGAAATCCTG TAATCCTGGA CGGACCCCGC  
 ---G-TC--- -----C----- -----C----- -----A---  
 G-----A---A-----C----- -----A-----A-----  
  
 661 GTGGCGAAAG CGCCTCAGGA GAACGGATCC GACAGTGAGG GACGAAAGCT AGGGTCTCGA  
 A-----A-----GA---AG-----G-----  
 --A-----T---T---C---G----- -----T-----  
  
 721 ACCGGATTAG ATACCGGGT AGTCCTAGCT GTAAACGATG TCCGCTAGGT GTGGCGCAGG  
 -----CT----- -----A-----CT-----A-A-----  
 -----A----- -----CT-----TT-----  
  
 781 CTACGAGCCT GCGCTGTGCC GTAGGGAAAGC CGAGAAGCGG ACCGCCTGGG AAGTACGTCT  
 -----T-T----- -----A-----G----- -----C  
 -----A----- -----A-----G----- -----C  
  
 841 GCAAGGATGA AACTTAAAGG AATTGGCGGG GGAGCACTAC AACCGGAGGA GCCTGCGGTT  
 -----  
 -----  
  
 901 TAATTGGACT CAACGCCGGA CATCTCACCA GCCCCGACAG TAGTAATGAC GGTCAGGTTG  
 -----T-----TA C-----G-----A-----  
 -----G-----A-----G-C-G-----A-----TCC-----  
 T  
  
 961 ATGACCTTAC CCGAGGCTAC TGAGAGGAGG TGATGGCCG CGCTCAGCTC GTACCGTGAG  
 -----T-----C-GT A-----  
 -----GG-----TT-X-C-----  
  
 1021 GCGTCCTGTT AAGTCAGGCA ACAGAGCGAGA CCCGCACTCC TAATTGCCAG CGGTACCCCTT  
 -----T----- -----T-----A-C-GXT--  
 -----GTC----- -----A-C-G-----  
  
 1081 TGGGTAGCTG GTACATTAG CTGGACTGCC GCTGCCAAAG CGGAGGAAGG AACGGCCAAC  
 C-AC-G----- -----AA-----T-----  
 GT-C-G----- -----GA-----TC-T-GA-----  
  
 1141 GCTAGGTCAG TATGCCCGA ATGGGCTGGG CAACACGCC GCTACAATGG TCGAGACAAT  
 -----A-----T-----  
 -----T-C-----G----- -----C-----G-

```

1201 GGGAAAGCCAC TCCGAGAGGA GGCGCTAACATC TCCTAAACTC GATCGTAGTT CGGATTGAGG
---T---T-T CT---A--AG AA----- -----
---C---T--- C-----G -A----- -----C--- -G----- -----C---

1261 GCTGAAACTC GCCCTCATGA AGCTGGATTG GGTAGTAATC GCGTGTCAAGC AGGCCGCAGT
----- ----- ----- -----A-T---AT --A-T-----
-T-----C- A---G----- -----A-T---A -----A-T-----

1321 GAATACGTCC CTGCTCCCTTG CACACACCAGC CCGTCAAATC ACCCGAGTGG GGTCGGATG
----- ----- -----G-----A-----C-----A-----C-----

1381 AGGCCGGCAT GCGCTGGTCA AATCTGGGCT CCGCAAGGGG GATTAAGTCG TAACAAGGTA
---AC---C A---G----G -----CT- X----- -C----- -----
-----GCAA---C---G ----- T----- 

1441 GCGTAGGGG AATCTGCGGC TGGATCACCT CCT
----- -----

```

Рис. 2. Нуклеотидные последовательности генов 16S рРНК из *H. halobium* (некодирующая РНК-подобная цепь, верхняя строка), *H. volcanii* (средняя строка) и *H. morrhua* (нижняя строка). В средней и нижней строках приведены только отличающиеся нуклеотиды; гомологичные нуклеотиды прочеркнуты; делеции и вставки отмечены соответственно знаками « $\times$ » и «†»

Полная нуклеотидная последовательность гена 16S рРНК из *H. halobium* приведена на рис. 2. Структура 5'- и 3'-концевых участков этой 16S рРНК была описана ранее [8, 12].

Как следует из полученных нами данных, 16S рРНК из *H. halobium* содержит 1473 нуклеотидных остатка, что на два нуклеотида меньше, чем в 16S рРНК из *H. morrhua* [13], и на один нуклеотид больше, чем в аналогичной рРНК из *H. volcanii* [14]. Сравнительный анализ нуклеотидных последовательностей этих трех археобактериальных 16S рРНК позволил оценить степень их гомологии, составляющей 88% для каждой пары РНК. Столь высокая степень гомологии отражает, по-видимому, тот факт, что все три рРНК принадлежат к одной и той же галофило-метаногенной ветви археобактериального царства [1]. Однако можно было бы ожидать, что различие между *H. halobium* и *H. morrhua* будет значительно, чем между *H. halobium* и *H. volcanii*, поскольку *H. morrhua* входит в состав другого рода экстремальных галофильных организмов. Степень гомологии между 16S рРНК из *H. halobium* и 16S рРНК из эубактерии *E. coli*, а также между 16S рРНК из *H. halobium* и 18S рРНК из эукариотического организма *D. discoideum* значительно ниже и составляет 63 и 56% соответственно.

*Вторичная структура 16S рРНК из H. halobium.* Моделирование вторичной структуры РНК малой субчастицы эубактериальных и эукариотических рибосом базируется на двух главных принципах: филогенетических исследованиях, основанных на сравнении нуклеотидных последовательностей 16S (18S) рРНК [15–17], и экспериментальных данных, касающихся доступности тех или иных участков РНК для действия ферментов или химических агентов, специфичных к одно- или двухцепочечным элементам вторичной структуры [17]. Построенные модели вторичной структуры эубактериальной 16S рРНК и эукариотической 18S рРНК, несмотря на большое различие в длине молекул и их нуклеотидной последовательности, в целом очень консервативны, т. е. обнаруживают значительное сходство, определяемое, по-видимому, общностью их функций в трансляционном аппарате клетки. Эта функциональная эквивалентность заставляет предполагать, что и в третьем эволюционном царстве – археобактерий – РНК малой субчастицы рибосом будут обладать вторичной структурой, сходной в определенных элементах со структурами, предложенными для эубактерий и эукариот. Действительно, существующие в настоящее время две модели вторичной структуры для археобактериальной 16S рРНК (одна из них предложена для 16S рРНК из *H. morrhua* [13], а другая – для 16S рРНК из *H. volcanii* [14]) имеют много общего с эукариотической и особенно эубактериальной моделями. Сравнение обеих моделей вторичной структуры археобактерий показывает, что они отличаются лишь несколь-

кими структурными элементами. В частности, модель вторичной структуры, предложенная Лефферсом и Гарреттом [13], имеет несколько дополнительных двухцепочечных спиралей (в шпильках 58–82, 159–183, 190–199 и 1210–1221), которые в модели для 16S рРНК из *H. volcanii* [14] представлены в виде неспирализованных одноцепочечных участков. В связи с этим значение нуклеотидной последовательности еще одной археобактериальной 16S рРНК оказывается чрезвычайно полезным, поскольку позволяет не только судить о распределении наиболее вариабельных и консервативных участков в первичной структуре археобактериальной 16S рРНК, но и осуществить филогенетический анализ предложенных моделей вторичной структуры.

Детальное рассмотрение нуклеотидных замен в шпильках 58–82, 159–183, 190–199 и 1210–1221 всех трех археобактериальных 16S рРНК показало, что они имеют строго компенсаторный характер, т. е. происходят только такие замены, которые не нарушают уотсон-криковское спаривание оснований в стебле шпильки. Этот факт свидетельствует в пользу существования перечисленных выше шпилек во вторичной структуре этих молекул. В целом благодаря наличию компенсаторных нуклеотидных замен 27 шпилек в модели вторичной структуры 16S рРНК археобактерий, предложенной Лефферсом и Гарреттом [13], находят филогенетическое подтверждение. В соответствии с этим для 16S рРНК из *H. halobium* может быть предложена модель вторичной структуры, изображенная на рис. 3. Эта модель хорошо согласуется также с данными (рис. 3), полученными нами при расщеплении этой молекулы в неденатурирующих условиях РНКазами T<sub>1</sub> и A, специфичными к одноцепочечным участкам полинуклеотидной цепи. Действительно, большинство сайтов, доступных действию этих ферментов в неденатурированной 16S рРНК, расположено либо в одноцепочечных участках, либо вблизи дефектных последовательностей, нарушающих комплементарность стеблей шпилек. Единственным исключением является доступность действию РНКазы T<sub>1</sub> межнуклеотидной связи после остатка гуаниловой кислоты G-859, расположенного, как следует из рис. 3, в середине совершившей двухцепочечной спирали, образованной четырьмя парами комплементарных оснований. Однако этот факт находится в согласии с данными по расщеплению РНКазой T<sub>1</sub> соответствующих участков в 16S рРНК эубактерий [15] и 18S рРНК эукариот [17]. Возможно, что шпилька 12–15/858–861 не существует в молекуле постоянно, а образуется лишь при определенном функциональном состоянии рибосомы.

Как уже отмечалось, археобактерия *H. halobium* относится к экстремальным галофилам, т. е. живет и размножается при высоких концентрациях солей во внешней среде. При этом внутриклеточная концентрация солей также чрезвычайно высока [18]. Это значит, что все клеточные органеллы галофилов должны быть адаптированы к существованию в условиях высокой ионной силы. И действительно, было показано, что рибосомы родственной галофильной археобактерии *Halobacterium cutirubrum*, а также ее субрибосомные рибонуклеопротеидные комплексы существуют лишь в растворах 3,4 М KCl и диссоциируют на составляющие компоненты при снижении ионной силы [19]. Было высказано предположение, что ответственными за такую «галофильную» устойчивость при высокой концентрации солей могут быть как рибосомные белки [20], так и рРНК [6], поскольку и те и другие молекулы способны изменять свою пространственную структуру в зависимости от величины ионной силы окружающей среды. В связи с этим, зная нуклеотидную последовательность 16S рРНК из *H. halobium* и построив модель ее вторичной структуры, можно было попытаться найти в этой молекуле какие-то специфические, «галофильные», черты, определяющие ее поведение в экстремальной среде обитания. Выше мы указывали на то, что вторичная структура 16S рРНК из *H. halobium*, равно как и из *H. morrhua* и *H. volcanii*, может иметь ряд дополнительных шпилек, подтверждаемых филогенетическим анализом и отсутствующих, по-видимому, во вторичной структуре соответствующих рРНК из эубактерий и эукариот. Не исключено, что именно эти элементы вто-

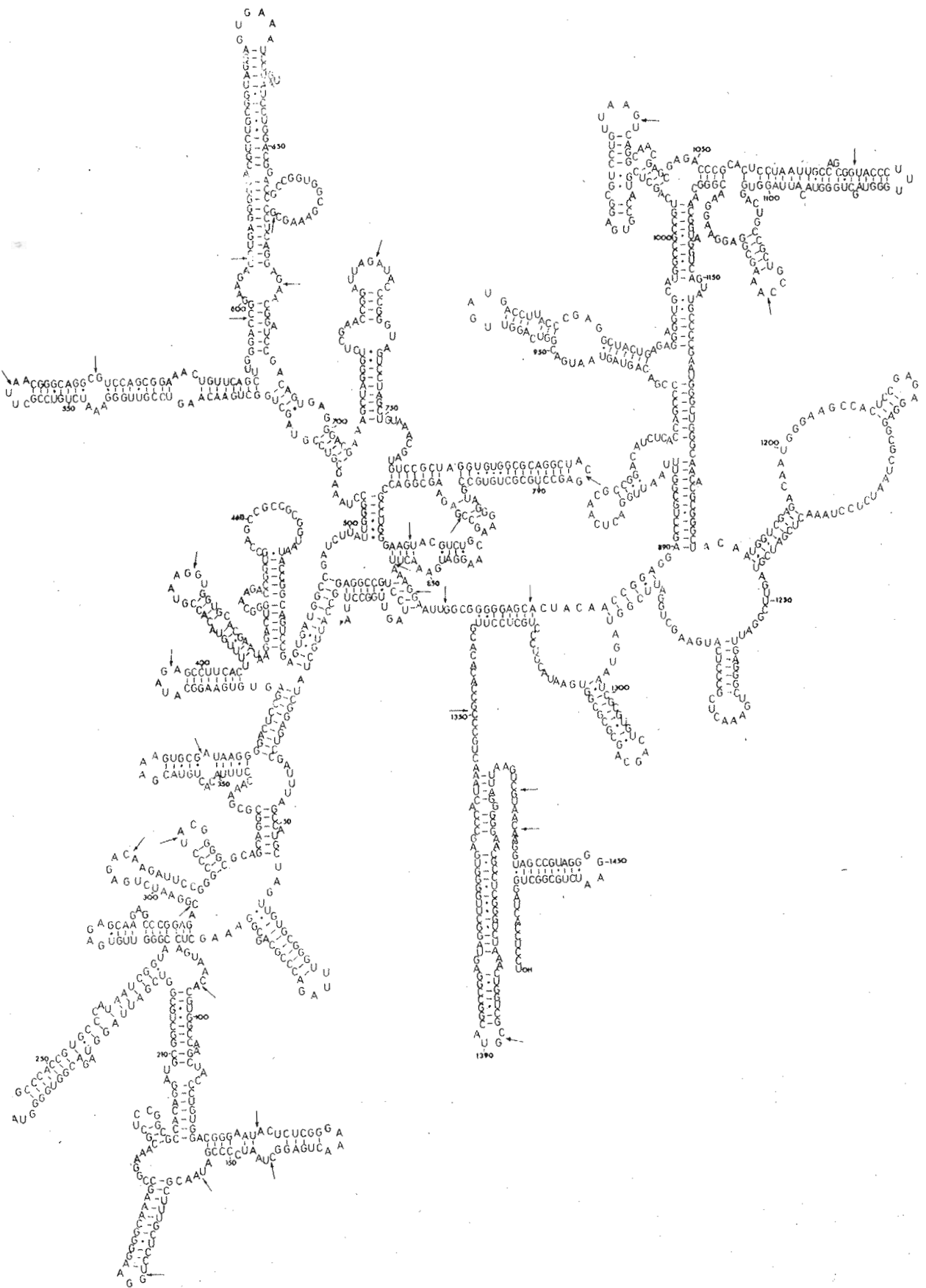


Рис. 3. Модель вто-  
рой структуры 16S рРНК и-  
I. tobacum. Стрелками от-  
мечены фосфодиэфирные свя-  
зьступные для действия  
Ti и A в неденатури-  
рованных условиях

ричной структуры являются отличительной особенностью 16S рРНК из галофильных организмов. С другой стороны, столь же справедливо будет предположить, что указанные элементы отражают не «галофильную», а вообще «археобактериальную» природу этих трех рРНК и представляют собой тот филогенетический маркер, который можно будет использовать для выявления генеалогических взаимоотношений между организмами из разных первичных царств. Однако решить этот вопрос без знания первичных структур 16S рРНК из археобактерий, принадлежащих не к галофильному, а другим порядкам, представляется невозможным.

### Экспериментальная часть

В работе использованы рестрикционные эндонуклеазы *Bam*HI, *Eco*RI, *Hind*III, *Pst*I, *Pvu*II, *Sau*3A, *Msp*I, а также Т4-полинуклеотидкиназа и Т4-РНК-лигаза отечественного производства. Рестрикционные эндонуклеазы *Acc*I, *Taq*I, *Kpn*I и большой фрагмент ДНК-полимеразы I (фермент Кленова) были любезно предоставлены А. Метспалу (Тартуский государственный университет). Индивидуальные 16S, 23S и 5S рРНК из *H. halobium*, штамм RI, были выделены по описанной методике [4]. Препарат суммарной ДНК из того же штамма был выделен и любезно предоставлен Е. Шубиной (Московский государственный университет).

*Введение радиоактивной метки в рРНК.* 50 мкг рРНК кипятили 15 мин в 20 мкл дистиллированной воды. В раствор добавляли трипл-НCl, MgCl<sub>2</sub> и дитиотреит до концентрации 50, 10 и 5 мМ соответственно. 100 мкКи [ $\gamma$ -<sup>32</sup>P]ATP (3000 Ки/ммоль, Amersham, Англия) и 5 ед. акт. Т4-полинуклеотидкиназы добавляли в реакционную смесь и инкубировали 12 ч при 10° С. Меченные фрагменты рРНК отделяли от избытка [ $\gamma$ -<sup>32</sup>P]ATP путем гель-фильтрации на колонке с сефадексом G-50 и осаждали из раствора трехкратным объемом этилового спирта.

*Получение рестрикционной карты оперона рибосомных РНК.* Суммарную ДНК из *H. halobium* расщепляли рестрикционными эндонуклеазами *Bam*HI, *Eco*RI, *Hind*III, *Pst*I или парами рестрикционных эндонуклеаз *Bam*HI – *Eco*RI и *Bam*HI – *Hind*III. Полученные гидролизаты разделяли с помощью электрофореза в 1% агарозном геле, фрагменты ДНК переносили на нитроцеллюлозные фильтры и гибридизовали с <sup>32</sup>P-меченными 16S, 23S и 5S рРНК по методике Саузерна [9].

*Клонирование гена 16S рРНК из H. halobium.* ДНК из *H. halobium* расщепляли парами рестрикционных эндонуклеаз *Bam*HI – *Hind*III или *Bam*HI – *Eco*RI и клонировали в плазмиду pBR322, предварительно расщепленную теми же ферментами. Полученные рекомбинантные плазмиды использовали для трансформации клеток *E. coli*, штамм HB101. Колонии, устойчивые к действию ампциллина и чувствительные к действию тетрациклина, гибридизовали с <sup>32</sup>P-меченой 16S рРНК из *H. halobium*. Для дальнейшего анализа были выбраны два клона, гибридизующиеся с 16S рРНК: кlon pHT1, содержащий вставку *Bam*HI – *Eco*RI, и кlon pHT6, содержащий вставку *Bam*HI – *Hind*III. Все процедуры, включающие в себя расщепление рестрикционными эндонуклеазами, лигирование, трансформацию и выделение рекомбинантных плазмид, проводили так, как описано в сборнике [21].

*Определение первичной структуры гена 16S рРНК.* Плазмиды pHT1 и pHT6 расщепляли парами рестрикционных эндонуклеаз *Bam*HI – *Pvu*II и *Bam*HI – *Kpn*I соответственно. Фрагменты *Bam*HI – *Pvu*II и *Bam*HI – *Kpn*I выделяли с помощью электрофореза в 1% агарозном геле, расщепляли рестриционными эндонуклеазами *Sau*3A или *Taq*I, метили с помощью  $\alpha$ -<sup>32</sup>P-меченых нуклеозидтрифосфатов и фермента Кленова и анализировали. Анализ первичной структуры проводили методом частичной химической деградации по Максаму – Гилберту [10], а также «дидезокси»-методом Сэнджера [11].

## ЛИТЕРАТУРА

1. Woese C. R., Fox G. E. Proc. Nat. Acad. Sci. USA, 1977, v. 74, № 11, p. 5038–5092.
2. Nomura M., Post L. E. In: Ribosome: structure, function and genetics/Eds Chambliss G. et al. Baltimore: University Park Press, 1980, p. 761–791.
3. Philippsen P., Thomas M., Kramer R. A., Davis R. W. J. Mol. Biol., 1971, v. 123, № 3, p. 387–407.
4. Hofman J. D., Lau R. H., Doolittle W. F. Nucl. Acids Res., 1979, v. 7, № 5, p. 1321–1333.
5. Neumann H., Gierl A., Tu J., Leibrock J., Staiger D., Zillig W. Mol. Gen. Genet., 1983, v. 192, № 1, p. 66–72.
6. Mankin A. S., Kagramanova V. K., Belova E. N., Teterina N. L., Baratova L. A., Bogdanov A. A. Biochem. Int., 1982, v. 5, № 6, p. 719–726.
7. Каграманова В. К., Манькин А. С. Тез. докл. на Международном советско-итальянском симпозиуме «Макромолекулы в функционирующей клетке». Киев, 1984, с. 48.
8. Mankin A. S., Teterina N. L., Rubtsov P. M., Baratova L. A., Kagramanova V. K. Nucl. Acids Res., 1984, v. 12, № 16, p. 6537–6546.
9. Southern E. M. J. Mol. Biol., 1975, v. 98, № 3, p. 503–517.
10. Maxam A. M., Gilbert W. Proc. Nat. Acad. Sci. USA, 1977, v. 74, № 2, p. 560–564.
11. Sanger F., Nicklen S., Coulson A. R. Proc. Nat. Acad. Sci. USA, 1977, v. 74, № 12, p. 5463–5467.
12. Kagramanova V. K., Mankin A. S., Baratova L. A., Bogdanov A. A. FEBS Lett., 1982, v. 144, № 1, p. 177–180.
13. Leffers H., Garrett R. A. EMBO J., 1984, v. 3, № 7, p. 1613–1619.
14. Gupta R., Lanter J. M., Woese C. R. Science, 1983, v. 221, № 3, p. 261–264.
15. Woese C. R., Magrum L. J., Gupta R., Siegel R. E., Stahl D. A., Kop J., Crauford N., Brosius J., Gutell R., Hogan J. J., Noller H. F. Nucl. Acids Res., 1980, v. 8, № 10, p. 2275–2293.
16. Noller H. F. In: Ribosome: structure, function and genetics/Eds Chambliss G. et al. Baltimore: University Park Press, 1980, p. 3–22.
17. Манькин А. С., Конылов А. М. Биоорганическая химия, 1981, т. 7, № 10, с. 1523–1531.
18. Matheson A. T., Yaguchi M., Nazar R. N., Visentin L. P., Willick G. E. In: Energetics and structure of halophilic microorganisms/Eds Caplan S. R., Ginzburg M. Amsterdam: Elsevier/North Holland, 1978, p. 481–501.
19. Vicentini L. P., Chow C., Matheson A. T., Yaguchi M., Rollin F. Biochem. J., 1972, v. 130, № 1, p. 103–110.
20. Nazar R. N., Willick G. E., Matheson A. T. J. Biol. Chem., 1979, v. 254, № 4, p. 1506–1512.
21. Maniatis T., Fritsch E. F., Sambrook J. Molecular cloning. A laboratory manual. Cold Spring Harbor Laboratory. Cold Spring Harbor, 1982.

Поступила в редакцию  
19.X.1984

## THE NUCLEOTIDE SEQUENCE OF THE GENE CODING FOR THE 16S rRNA FROM ARCHAEBACTERIUM *HALOBACTERIUM HALOBIIUM*

KAGRAMANOVA V. K., MANKIN A. S., TETERINA N. L., RUBTSOV P. M.\*,  
KOPYLOV A. M., BARATOVA L. A., BOGDANOV A. A.

*A. N. Belozersky Laboratory of Molecular Biology and Bioorganic  
Chemistry, M. V. Lomonosov Moscow State University, Moscow;*

*\* Institute of Molecular Biology, Academy of Sciences of the USSR, Moscow*

The complete nucleotide sequence of the 16S rRNA gene 1473 bp long from archaeabacterium *Halobacterium halobium* has been determined. Alignment with sequences of 16S rRNA genes from archaeabacteria *Halobacterium volcanii* and *Halococcus morrhua* reveals equal degree of homology, viz 88%. Variations between primary structures of the *H. halobium* and eubacterial (*Escherichia coli*) 16S rRNA or eukaryotic (*Dictyostelium discoideum*) 18S rRNA are much wider, the homology being 63 and 56%, respectively. A comparison of nucleotide sequences of the *H. halobium* 16S rRNA and its archaeabacterial counterparts confirms a secondary structure model of RNA from the small subunit of the archaeabacterial ribosome.